

# Een ftanietrijke mesolithische vindplaats te Meeuwen Monnikswijer (Limburg, BE)

Marijn VAN GILS, Gunther NOENS & Ann VAN BAELEN

## 1. Inleiding

Aan de noord-noordoostoever van het ven Monnikswijer, op het militaire domein van Houthalen-Helchteren (provincie Limburg, België), werden in februari 2015 lithische artefacten aangetroffen tijdens een veldprospectie door dhr. Jacques Carolus (Fig. 1: A). Deze bevonden zich op een terrein van ca. 0,3 ha dat in opdracht van het Agentschap voor Natuur en Bos werd geplagd in functie van heideherstel. Onder de vondsten bevonden zich 9 stukken in ftaniet, ingezameld op een oppervlakte van nauwelijks enkele vierkante meters. Een terreinbezoek op 24 april 2015 leverde opnieuw talrijke oppervlaktevondsten op, en wees tevens uit dat de plagwerken winderosie van de vindplaats hadden geïnitieerd. In het licht van deze bedreiging registreerde en onderzocht het agentschap Onroerend

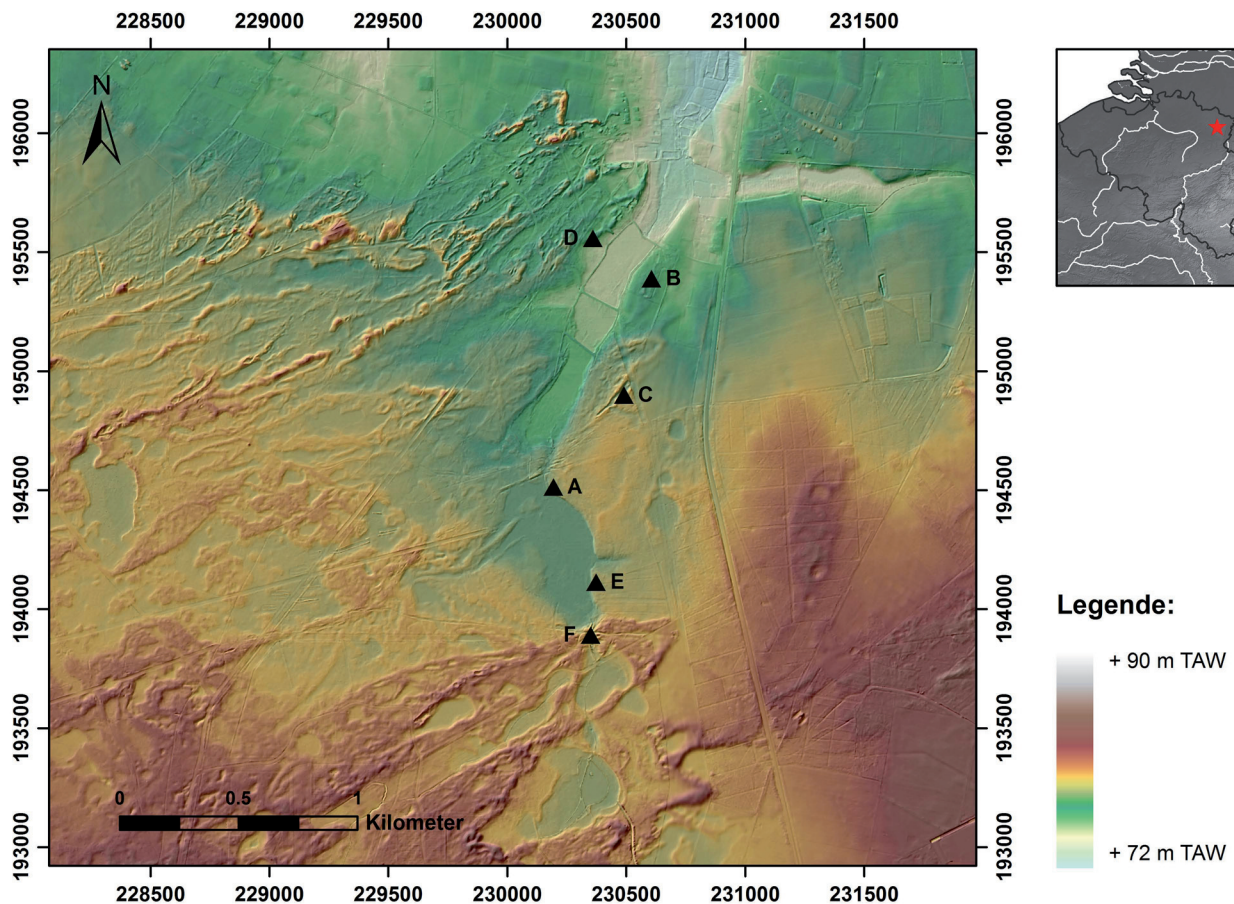


Fig. 1 – Digitaal hoogtemodel met aanduiding van de in de tekst vermelde vindplaatsen. A: Meeuwen Monnikswijer, B: Meeuwen In Den Damp, C-D: boor- en oppervlaktevondsten 2001, E-F: oppervlaktevondsten 24 april 2015 (Bron: Agiv, DHM Vlaanderen II, DTM 1 m, <https://www.agiv.be/producten/digitaal-hoogtemodel-vlaanderen>).

Erfgoed de vindplaats in juni 2015. Hiertoe werden twee artefactconcentraties rijk aan vondsten in ftaniet opgegraven, en werd de rest van de geplagde oppervlakte door middel van veldkartering in kaart gebracht.

## 2. Landschappelijke en archeologische context

De Monnikswijer is centraal op het Kempisch Plateau gelegen, en is het meest zuidelijke van een reeks vennen die via de Abeek noordwaarts naar de Maas afwateren. Net ten oosten van het meest noordelijke ven werd in 1986 de mesolithische vindplaats Meeuwen In Den Damp opgegraven door de KU Leuven (Fig. 1: B; Creemers & Vermeersch, 1986, 1987; CAI 50213). In 2001 werden tevens zowel op een duinrug ten zuiden van In Den Damp (Fig. 1: C; CAI 51686), als aan de westzijde van dit ven (Fig. 1: D; CAI 51685), vondsten aan de oppervlakte en door middel van boringen aangetroffen (Van Gils & De Bie, 2002). De oostzijde van de Monnikswijer past volledig in het verwachtingspatroon voor dense jagers-verzamelaars sites: op permanent droge grond vlakbij (voormalig) open water, met een duidelijke overgang tussen beide. Hiermee vertoont de hele zone rond deze reeks vennen een zeer hoog potentieel voor de aanwezigheid van vindplaatsen uit de steentijd.

Het bredere gebied vertoont enige eolische reliëfvormen, maar in het onderzoeksgebied zelf zijn geen duinen aanwezig. Zowel de Ferrariskaart (ca. 1775) als de gereduceerde kadasterplans van het *Dépôt de la guerre et de la topographie* (ca 1865) tonen dat het onderzoeksgebied zich in de gemeenschappelijke heide bevond en dus niet aan intensieve landbouw onderworpen was. Dit landgebruik, gevolgd door bebossing met dennen en het feit dat het sinds de 20ste eeuw behoort tot (de randzone van) een militair domein, hebben ervoor gezorgd dat het vroegholocene reliëf hier waarschijnlijk goed bewaard is gebleven.

Archeologische vindplaatsen rijk aan ftaniet, uit alle perioden van de prehistorie, zijn voornamelijk dun gezaaid. Ze komen voor op Belgisch en Nederlands grondgebied en kwamen voornamelijk aan het licht tijdens oppervlaktekarteringen. Uit het mesolithicum zijn in dit gebied verschillende tientallen vindplaatsen gekend waar ftaniet voorkomt, maar in de meeste gevallen gaat het steeds om één of enkele vondsten per vindplaats. De voornaamste uitzonderingen hierop zijn de vindplaatsen Brecht-Overbroek (Vermeersch *et al.*, 2005), Weelde-Paardsdrank (Huyge & Vermeersch, 1982) en Bladel/Netersel - Steeven (Arts & Deeben, 1977) waar telkens meerdere tientallen artefacten uit ftaniet (max. ca. 90) werden ingezameld.

## 3. Bodem en bodembewaring

Op de opgravingslocaties is een podzolbodem aanwezig. In het vlak van de geplagde zone waren parallelle donkere stroken aanwezig die waarschijnlijk afkomstig zijn van een eenmalige beploeging voor de aanleg van het bovenvermelde dennenbos. Deze sporen waren echter niet zichtbaar in de profielwanden van de opgravingsputten. De Ah-horizont was over het grootste deel van de oppervlakte verdwenen en de top van de E-horizont was aangesneden, wat ongetwijfeld te wijten is aan het plaggen en/of de daardoor geïnitieerde winderosie. Met een gemiddelde resterende dikte van 15 à 20 cm, lijkt de impact op de E-horizont echter relatief beperkt, en kunnen we van een goede bodembewaring spreken.

De verschillende horizonten van de podzol dagzomen aan de helling naar het ven, wat aangeeft dat de oever niet meer haar natuurlijke topografie vertoont. Aangezien hier

geen grondverzet gebeurde bij de plagwerken, en het gereduceerde kadasterplan van het *Dépôt de la guerre et de la topographie* (ca 1865) er reeds een steilwand toont, werd de oever vermoedelijk langer geleden aangeschuid of teruggezet, misschien in functie van het vroeger gebruik als wijer (visvijver). De huidige oever bevindt zich dus waarschijnlijk enigszins ten het oosten van de natuurlijke oever.

#### 4. Doelstellingen en methodiek

Aangezien een volledige opgraving van de totale geplagde zone te veel tijd en middelen zou vergen werd gekozen voor een registratie door middel van veldkartering, die moest toelaten om een ruw beeld te vormen van de vondstspreading en –densiteit van de volledige geplagde oppervlakte. Hiertoe werd het terrein opgedeeld in registratie-eenheden van 10 x 10 m die in juni 2015 verschillende malen systematisch werden afgelopen. Door het geplagde terrein met grotere tussenpozen te prospecteren, kon tevens de impact van de winderosie op de site worden opgevolgd. Naast de systematische veldkartering in juni 2015 werden zowel bij de eerste waarnemingen in februari 2015, als bij terreinbezoeken op 24 april en 16 oktober 2015 artefacten ingezameld.

Opmerkelijk was de aanwezigheid van verschillende artefacten in ftaniet aan de oppervlakte, in twee kleine clusters met nauwelijks 10 m tussenafstand. De aanwezige types (een groot kerntablet, kleine afslagen, chips, ...), de bijzonder verse aard van het materiaal, en vooral het aantal artefacten (9 en 14 stuks), deden vermoeden dat het hier een unieke locatie betreft waar ftaniet ter plaatse werd bewerkt. Daarom werd geopteerd om de potentieel unieke informatiewaarde van beide locaties te beschermen tegen verdere winderosie via een behoud *ex situ* door middel van een opgraving.

Hiertoe werd een grid van 50 x 50 cm aangelegd over de oppervlakteclusters met als doel de vondstenconcentraties zo volledig mogelijk in te zamelen. Wanneer bleek dat de verschillende grondstoffen een afwijkende vondstspreading vertoonden, werd gekozen om prioritair de densiteit aan artefacten in ftaniet te volgen. Het sediment werd met de schop ingezameld in verticale eenheden van 5 cm tot op een maximale diepte van 25 cm en nat gezeefd over een maaswijdte van 2 mm, waarna het zeefresidu ter plaatse werd uitgezocht. Om de uitbreiding van de vondstconcentraties snel te kunnen volgen, gebeurde dit vaak nog voor het drogen van het residu.

#### 5. Resultaten

##### 5.1. Veldkartering

###### 5.1.1. Vondsten

In februari 2015 zamelde Jacques Carolus 60 artefacten in. Het terreinbezoek op 24 april leverde 106 oppervlaktevondsten op en herhaalde systematische kartering van de ganse geplagde zone in juni 2015 resulteerde in 436 bijkomende artefacten. Bij een terreinbezoek op 16 oktober werden opnieuw 53 vondsten ingezameld.

De artefacten (Tab. 1) zijn overwegend in silex vervaardigd (n = 514), terwijl ook relatief veel wommersomkwartsiet aanwezig is (n = 115). Naast twee stukken in kwartsiet van Tienen, vallen vooral de artefacten in ftaniet (n = 23) op, die aanleiding gaven tot opgraving.

Onder de geretoucheerde artefacten komen naast verschillende gemene werktuigen

| Typologie                           | VST        | WSQ        | Ftaniel   | Tienen   | ?        | Totaal     |
|-------------------------------------|------------|------------|-----------|----------|----------|------------|
| <b>Kern</b>                         |            |            |           |          |          |            |
| kernfragment                        | 6          |            |           |          |          | 6          |
| vollledige kern                     | 12         | 1          |           |          |          | 13         |
| <b>Verfrissing</b>                  |            |            |           |          |          |            |
| kernflankafhaking                   | 6          | 2          |           |          |          | 8          |
| kernrandafhaking                    | 7          | 1          |           |          |          | 8          |
| kerntablet                          | 2          | 1          | 1         |          |          | 4          |
| slagvlakrandafhaking                | 2          | 1          |           |          |          | 3          |
| <b>Niet geretoucheerde afhaking</b> |            |            |           |          |          |            |
| (micro)kling                        | 68         | 39         | 2         |          |          | 109        |
| afslag                              | 134        | 20         | 3         | 1        |          | 158        |
| onbepaald afhakingsfragment         | 137        | 11         | 8         | 1        |          | 157        |
| <b>Chip</b>                         | 61         | 29         | 5         |          |          | 95         |
| <b>Brokstuk</b>                     | 48         | 4          | 3         |          | 1        | 56         |
| <b>Potlid</b>                       | 3          |            |           |          |          | 3          |
| <b>Gemeen werktuig</b>              |            |            |           |          |          |            |
| geretoucheerde (micro)kling         | 5          | 1          | 1         |          |          | 7          |
| geretoucheerde afslag               | 2          | 1          |           |          |          | 3          |
| schrabber                           | 8          | 2          |           |          |          | 10         |
| <b>Microliet</b>                    |            |            |           |          |          |            |
| driehoek                            | 1          |            |           |          |          | 1          |
| microliet met vlakke retouches      | 1          |            |           |          |          | 1          |
| onbepaald fragment                  | 3          |            |           |          |          | 3          |
| spits met afgestompte boord(en)     |            | 1          |           |          |          | 1          |
| spits met schuine afknotting        | 2          |            |           |          |          | 2          |
| spits met geretoucheerde basis      | 4          |            |           |          |          | 4          |
| trapezium                           |            | 1          |           |          |          | 1          |
| <b>Pijlpunt</b>                     |            |            |           |          |          |            |
| gesteelde pijlpunt                  | 1          |            |           |          |          | 1          |
| <b>Kerfrest</b>                     |            |            |           |          |          |            |
| kerf op proximaal rechterboord      | 1          |            |           |          |          | 1          |
| <b>Eindtotaal</b>                   | <b>514</b> | <b>115</b> | <b>23</b> | <b>2</b> | <b>1</b> | <b>655</b> |

Tab. 1 – Vondstaantallen van de veldkartering.

den (zie boven). Dit patroon bestaande uit een dense vondstspreading vlak langs toenmalig open water komt sterk overeen met andere mesolithische vindplaatsen (De Bie & Van Gils, 2009; Van Gils & De Bie, 2008).

Zowel bij de systematische veldkartering als bij de andere terreinbezoeken viel op dat het geen egale vondstspreading betreft, maar dat vaak clusters van artefacten aan de oppervlakte aanwezig waren. Deze waren meestal relatief klein in omvang (slechts enkele meters diameter) en vertoonden met enkele clusters van bijna uitsluitend wommer-somkwartsiet vaak een sterk overwicht van specifieke grondstoffen. De oever van de Monnikswijer lijkt dan ook een relatief dense serie van vondstenconcentraties te bevatten, waarvan de ruimtelijke context zeer goed bewaard is.

### 5.1.3. Monitoring winderosie

Het aantreffen van talrijke vondsten aan de oppervlakte van het geplagde terrein op verschillende tijdstippen, na voorgaande intensieve veldkartering, toont dat de winderosie

voornamelijk microlieten voor (Fig. 2: 1-6, 8). Samen met de aanwezigheid van een kerfrest en het grote aandeel wommersomkwartsiet, wijst dit op een mesolithische occupatie. Enkel een gesteelde pijlpunt is duidelijk uit een andere (latere) periode afkomstig (Fig. 2: 7).

### 5.1.2. Vondstspreading

Bij de systematische veldkartering in juni 2015 werden vondsten per vak van 10 x 10 m geregistreerd. Het betreft 436 vondsten (Fig. 3). De densiteit aan vondsten neemt dicht bij het ven sterk toe. De eerste 10 m leverde tot 76 vondsten per 100 m<sup>2</sup> op, terwijl in de laatste nog slechts 3 artefacten per 100 m<sup>2</sup> werden aangetroffen. De eerste 30 m vanaf de huidige oever bevat de meerderheid van de vondsten, waarna de densiteit snel afneemt. De exacte afstand tot de natuurlijke oever is hier echter moeilijk te bepalen, aangezien deze zich enigszins ten westen van de huidige oever moet hebben bevonden

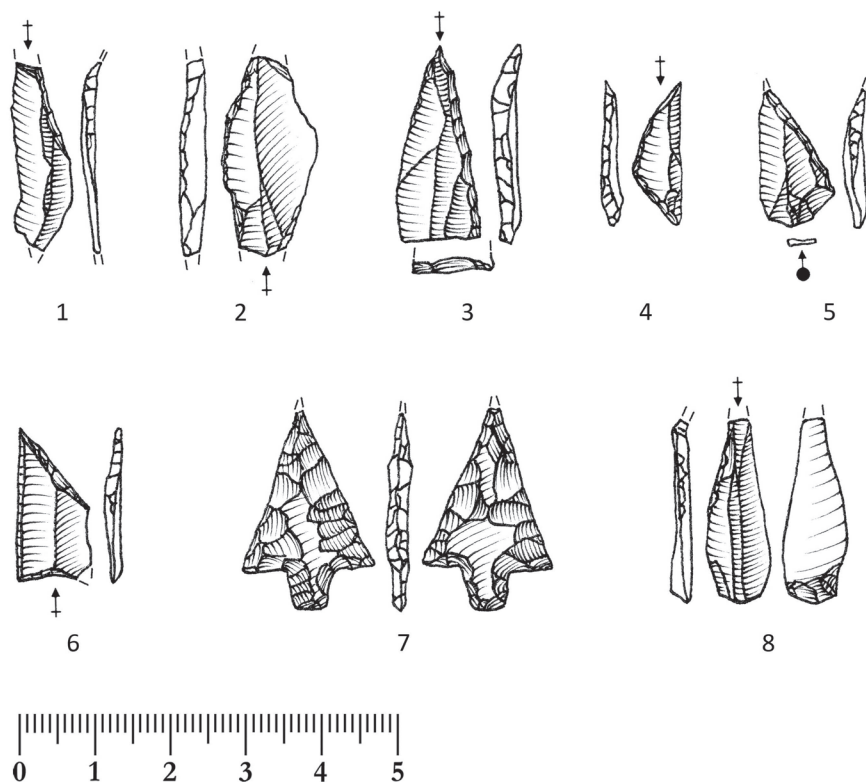


Fig. 2 – Selectie van artefacten uit de oppervlakteprospecties (1-5, 7-8: vuursteen; 6: Wommersomkwartsiet).

gedurende langere tijd aanhoudt. Doorheen juni werd het terrein bijvoorbeeld zeer intensief belopen, maar toch leverde een terreinbezoek op 16 oktober opnieuw 53 vondsten op. De vindplaats wordt dus langzaam verder beschadigd door de winderosie, die een rechtsreeks gevolg is van plagwerken in het kader van heideherstel. Deze erosie zal vermoedelijk pas eindigen wanneer nieuwe vegetatie opschiet die het sediment opnieuw vasthoudt.

#### 5.1.4. Waarnemingen ten zuiden van de geplagde zone

Bij het terreinbezoek op 24 april werden eveneens twee locaties ten zuiden van de geplagde zone bezocht waar in de toekomst heideherstel is voorzien. De eerste locatie is een braakliggend perceel langs de zuidwestoever van de Monnikswijer (Fig. 1: E). Aan de oppervlakte is duidelijke

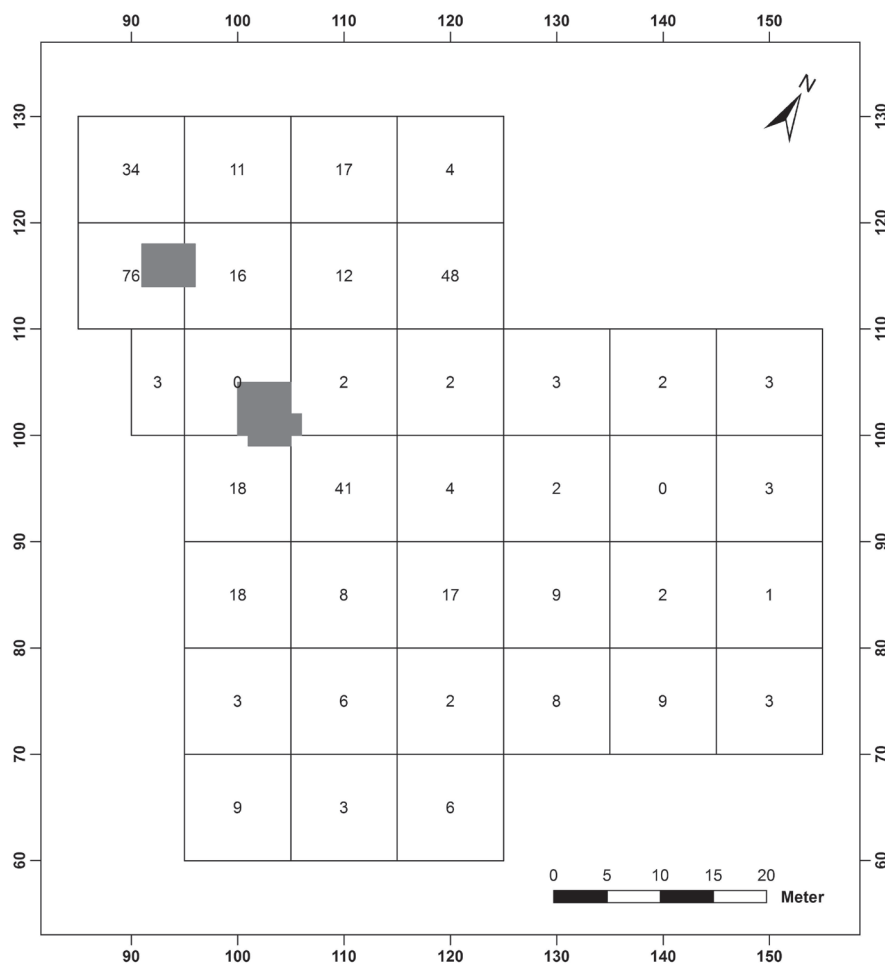


Fig. 3 – Horizontale spreiding vondsten veldkartering juni 2015.

lijk zichtbaar dat hier een bouwvoor aanwezig is, die relatief veel grind bevat. Hiertussen werden vijf artefacten aangetroffen: twee afslagen, een microkling, een klingfragment en een verbrande eindschrabber, allen in silex. De tweede locatie bevindt zich ten zuiden van de Monnikswijer (Fig. 1: F), in een bos waar het digitaal hoogtemodel eolische duin-

| Typologie                               | Concentratie 1 |            |            |          |             | Concentratie 2 |            |            |             | Totaal      |
|---|----------------|------------|------------|----------|-------------|----------------|------------|------------|-------------|-------------|
|   | VST            | WSQ        | Ftaniel    | Tienen   | Totaal      | VST            | WSQ        | Ftaniel    | Totaal      |             |
| <i>Kern</i>                             |                |            |            |          |             |                |            |            |             |             |
| kernfragment                            | 1              |            | 1          |          | 2           |                | 2          |            | 2           | 4           |
| volledige kern                          | 1              | 1          |            |          | 2           | 2              | 2          |            | 4           | 6           |
| <i>Verfrissing</i>                      |                |            |            |          |             |                |            |            |             |             |
| kernflankafhaking                       |                | 1          | 2          |          | 3           | 1              |            |            | 1           | 4           |
| kernrandafhaking                        |                |            | 4          |          | 4           | 3              |            |            | 3           | 7           |
| kerntablet                              |                |            | 1          |          | 1           | 3              | 1          |            | 4           | 5           |
| slagvlakrandafhaking                    | 1              |            | 3          |          | 4           | 6              |            |            | 6           | 10          |
| <i>Niet geretoucheerde afhaking</i>     |                |            |            |          |             |                |            |            |             |             |
| (micro)kling                            | 34             | 24         | 60         |          | 118         | 82             | 27         | 7          | 116         | 234         |
| afslag                                  | 52             | 9          | 67         | 1        | 129         | 80             | 25         | 11         | 116         | 245         |
| onbepaald afhakingsfragment             | 157            | 69         | 181        |          | 407         | 278            | 43         | 18         | 339         | 746         |
| <i>Chip</i>                             | 225            | 121        | 352        |          | 698         | 352            | 58         | 26         | 436         | 1134        |
| <i>Splinter</i>                         |                |            |            |          |             |                |            |            |             |             |
| slagbultsplinter                        | 1              | 1          | 1          |          | 3           | 2              |            |            | 2           | 5           |
| <i>Brokstuk</i>                         | 107            | 1          | 8          |          | 116         | 226            | 38         | 68         | 332         | 448         |
| <i>Potlid</i>                           | 18             |            | 1          |          | 19          | 28             |            |            | 28          | 47          |
| <i>Gemeen werktuig</i>                  |                |            |            |          |             |                |            |            |             |             |
| bek/boor/ruimer                         |                |            |            |          |             | 1              |            |            | 1           | 1           |
| geretoucheerde (micro)kling             | 1              |            | 1          |          | 2           | 3              | 2          | 1          | 6           | 8           |
| geretoucheerde afslag                   | 1              |            |            |          | 1           | 3              |            | 1          | 4           | 5           |
| schrabber                               |                |            |            |          |             | 2              | 3          |            | 5           | 5           |
| <i>Microliet</i>                        |                |            |            |          |             |                |            |            |             |             |
| driehoek                                | 1              |            |            |          | 1           | 3              | 2          |            | 5           | 6           |
| microliet met vlakke retouches          | 2              |            | 4          |          | 6           | 1              | 2          |            | 3           | 9           |
| onbepaald fragment                      | 4              | 3          | 3          |          | 10          | 20             |            |            | 20          | 30          |
| segment                                 |                |            |            |          |             | 1              | 1          |            | 2           | 2           |
| smalle microkling met afgestompte boord | 2              | 5          | 7          |          | 14          | 4              | 8          |            | 12          | 26          |
| spits met afgestompte boord(en)         | 2              |            |            |          | 2           | 1              |            |            | 1           | 3           |
| spits met geretoucheerde basis          |                |            |            |          |             | 1              |            |            | 1           | 1           |
| spits met schuine afknotting            | 1              |            |            |          | 1           |                |            |            |             | 1           |
| <i>Kerfrest</i>                         |                |            |            |          |             |                |            |            |             |             |
| kerf op distaal rechterboord            | 4              | 2          | 4          |          | 10          |                |            |            |             | 10          |
| kerf op distaal linkerboord             | 5              |            |            |          | 5           | 1              |            |            | 1           | 6           |
| kerf op proximaal linkerboord           | 1              | 2          |            |          | 3           |                |            |            |             | 3           |
| kerf op proximaal rechterboord          | 1              |            |            |          | 1           |                |            |            |             | 1           |
| onbepaald                               | 1              |            |            |          | 1           |                |            |            |             | 1           |
| <b>Eindtotaal</b>                       | <b>623</b>     | <b>239</b> | <b>700</b> | <b>1</b> | <b>1563</b> | <b>1104</b>    | <b>214</b> | <b>132</b> | <b>1450</b> | <b>3013</b> |

Tab. 2 – Vondstaantallen van de opgraving.

vormen toont. Een boring toonde hier de aanwezigheid van een goed ontwikkelde podzolbodem, wat doet vermoeden dat dit reliëf voldoende oud is om geen mesolithische archeologie af te dekken. Dit werd bevestigd door de vondst van een silex afslag aan de oppervlakte van een zandweg.

Beide vondstlocaties tonen dat ook deze plekken in de steentijd bezocht werden. Dit versterkt het idee dat de volledige zone rond de reeks vennen van de Monnikswijer tot en met In Den Damp prehistorische occupatie gekend heeft.

## 5.2. Opgraving van twee artefactconcentraties

### 5.2.1. Vondsten

De opgraving leverde enkel lithische artefacten op (Tab. 2). Voor concentratie 1 gaat het om 1563 artefacten, waarvan 698 chips. Het relatief lage aandeel chips is waarschijnlijk te wijten aan het uitzoeken van nat zeefresidu, waarbij deze kleine artefacten gemakkelijker over het hoofd kunnen gezien worden. Concentratie 2 is gelijkaardig qua grootteorde met 1450 artefacten, waarvan 436 chips.

De verdeling van de grondstoffen verschilt echter. Concentratie 1 bevat een meerderheid van stukken in ftaniet ( $n = 700$ ), naast 623 artefacten in silex, terwijl concentratie

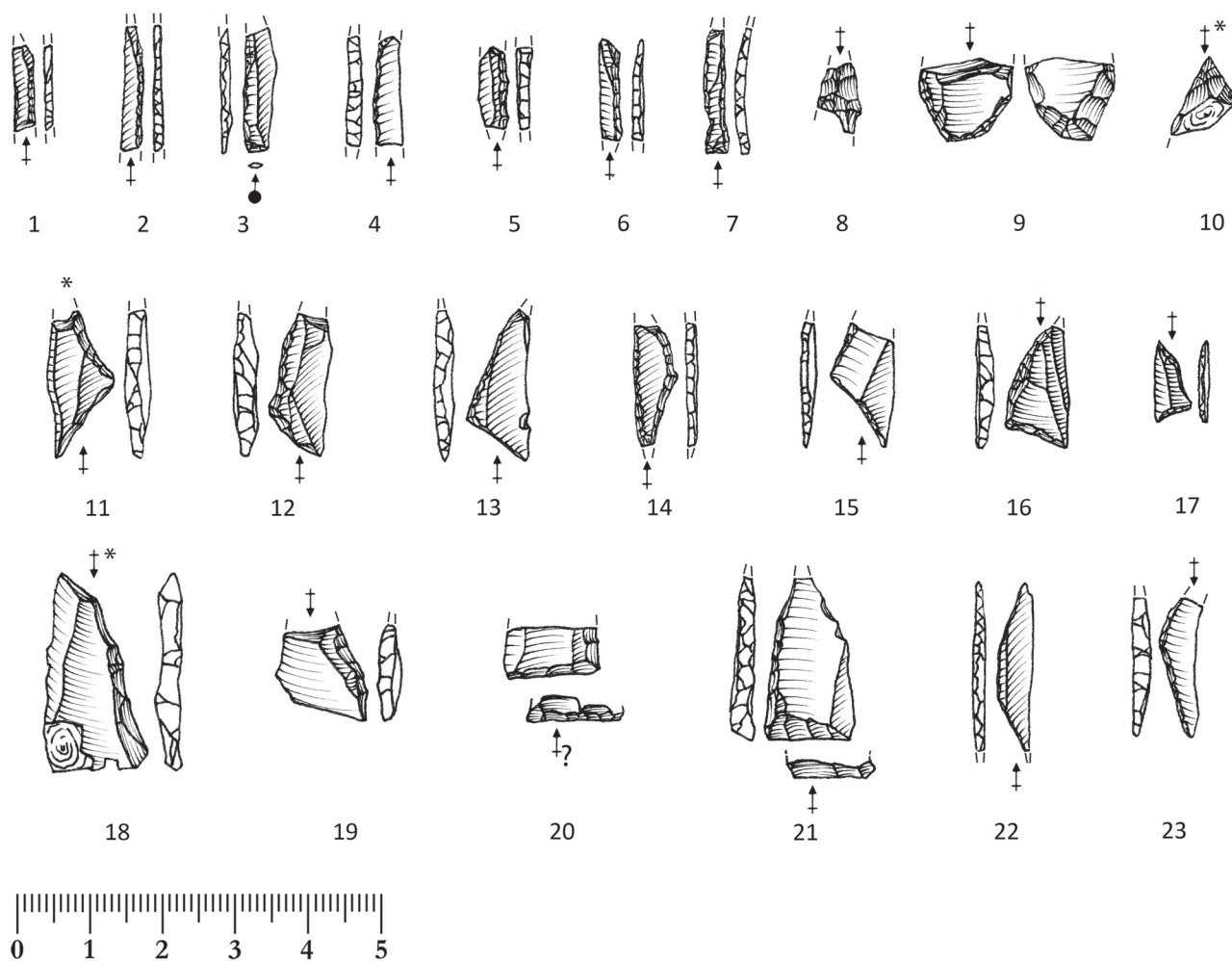


Fig. 4 – Selectie van microlieten uit de opgraving van concentratie 2 (6-7, 10-15, 18-22: vuursteen; 1-5, 8-9, 16-17, 23: Wommersomkwartsiet).

2 duidelijk meer silex (n = 1104) dan ftaniet (n = 132) bevat. Een verklaring hiervoor is wellicht te vinden in de vondstspreading (zie onder). In beide concentraties vormen artefacten in wommersomkwartsiet een goed vertegenwoordigde minderheid (respectievelijk 239 en 214 stukken). Concentratie 1 bevat ten slotte één enkele afslag in kwartsiet van Tienen.

Wat betreft geretoucheerde artefacten en werktuigafval zijn er eveneens duidelijke verschillen. Concentratie 1 bevat bijvoorbeeld nauwelijks gemene werktuigen (slechts twee geretoucheerde microklingen en een geretoucheerde afslag), terwijl er in concentratie 2 zestien aanwezig zijn, waaronder vijf schrabbers en een boor. Daarnaast zijn er qua microlieten duidelijk meer geometrische microlieten aanwezig in concentratie 2 (vijf driehoeken en twee segmenten; Fig. 4) dan in concentratie 1 (één driehoek; Fig. 5). Concentratie 1 bevat dan weer meer microlieten met vlakke retouches (zes tegenover drie). Ten slotte zijn kerfresten veel sterker vertegenwoordigd in concentratie 1 (n = 20) dan in concentratie 2 (n = 1). Beide concentraties bevatten echter een mooie hoeveelheid (fragmenten van) smalle microklingen met afgestompte boord (respectievelijk 14 en 12).

Voor het ensemble in ftaniet valt op dat concentratie 2 voornamelijk brokstukken, chips, en ruwer debitageafval bevat, maar nagenoeg geen geretoucheerde artefacten (enkel een geretoucheerde (micro)kling en een geretoucheerde afslag). In concentratie 1 bevinden zich meer (micro)kling(fragment)en, kernverfrissingselementen, werktuigen en werktuigafval. De gemene werktuigen in ftaniet blijven beperkt tot twee geretoucheerde (micro)klingen en een geretoucheerde afslag. De voornaamste component onder de ge-

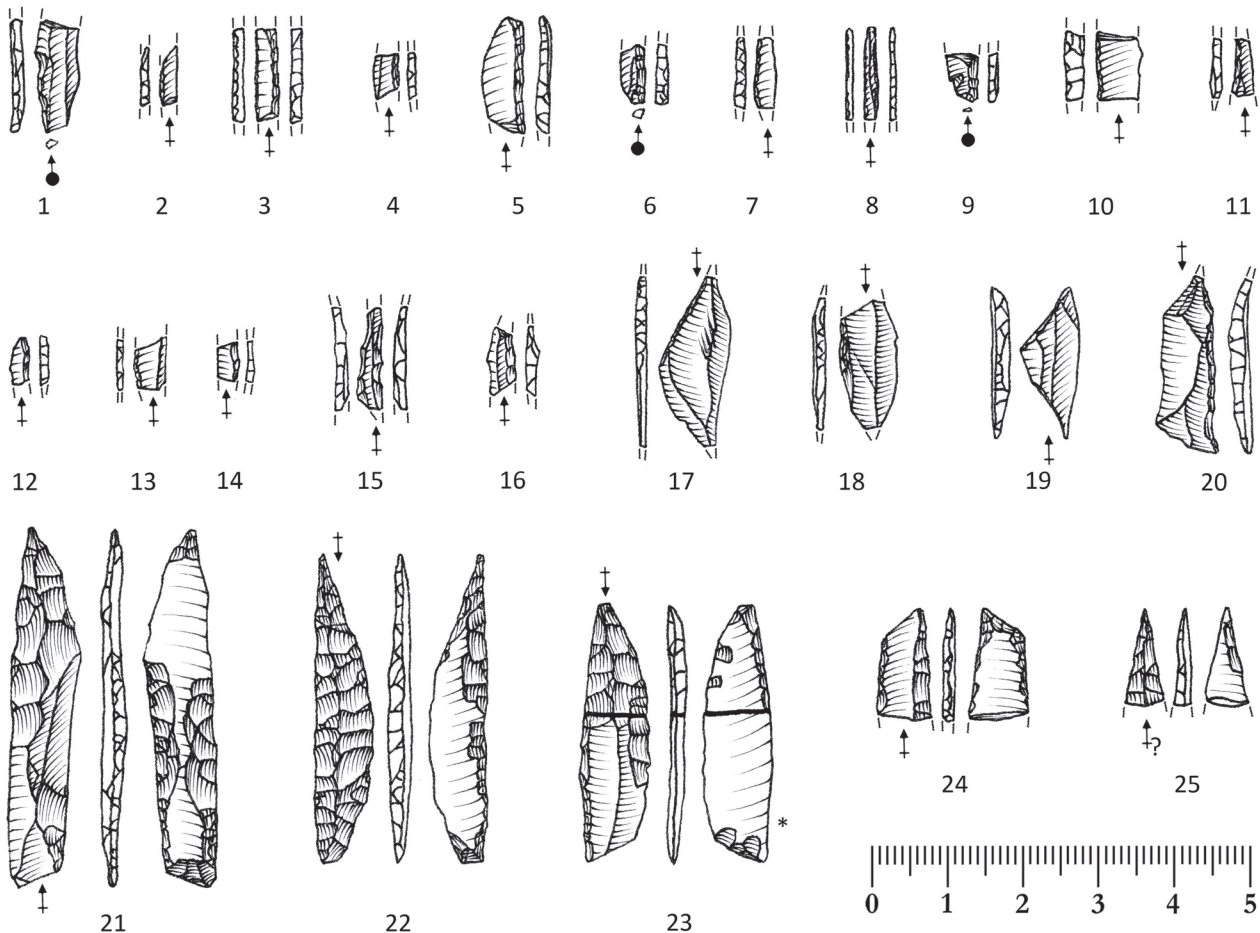


Fig. 5 – Selectie van microlieten uit de opgraving van concentratie 1 (10-16, 21-22, 24-25: ftaniet; 1-3, 17-20, 23: vuursteen; 4-9: Wommersomkwartsiet).



retoucheerde artefacten zijn (fragmenten van) microlieten met vlakke retouches (n = 4) en (fragmenten van) smalle microklingen met afgestompte boord (n = 7) (Fig. 5). Deze werden allemaal in concentratie 1 aangetroffen, evenals vier kerfresten. Dit alles doet vermoeden dat het ruwe ftaniet misschien eerst werd voorbereid op de locatie van concentratie 2, om vervolgens 10 m verderop, op de locatie van concentratie 1, verder gedebiteerd en tot werktuigen verwerkt te worden. Refitting en technologische analyse zullen echter moeten uitmaken of de artefacten in ftaniet van beide concentraties van dezelfde knollen afkomstig zijn of niet, en hoe hun *chaîne(s) opératoire(s)* er precies uitzag(en). De artefacten in ftaniet lijken met een uiterst vers voorkomen zeer goed bewaard, wat het potentieel voor een dergelijke studie vergroot (Fig. 6 & 7).

Concentratie 2 leverde ten slotte een belangrijke hoeveelheid brokstukken in natuursteen op (vermoedelijk kwartsitische zandsteen; n = 386). Aangezien hierin slechts zeer weinig

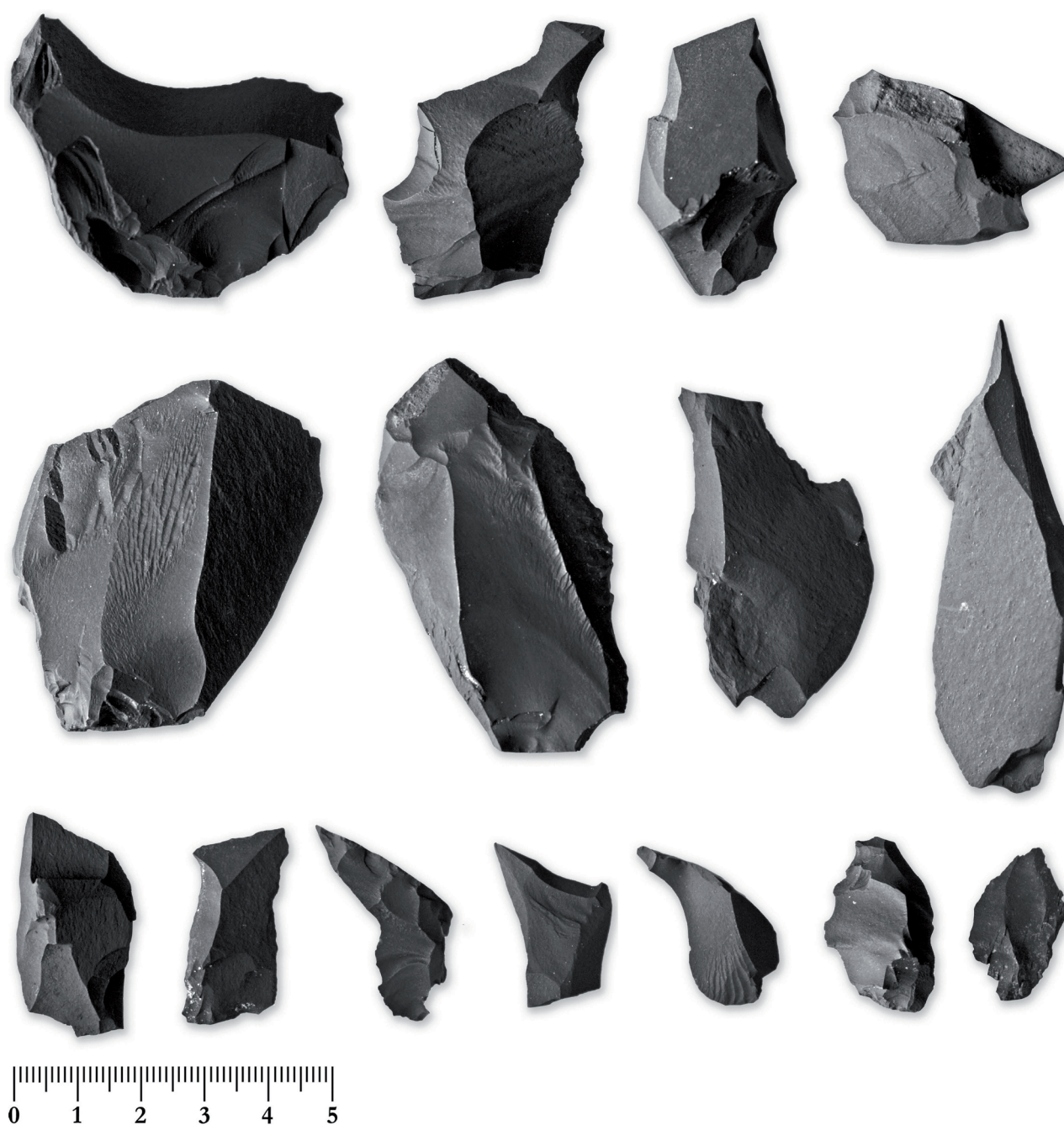


Fig. 6 – Selectie van artefacten in ftaniet.

variatie zichtbaar is wat betreft grondstof, lijken deze afkomstig van slechts enkele grotere keien die vermoedelijk door verhitting verbrosseld zijn. Ook dit dient door middel van refitting nader bekeken te worden.

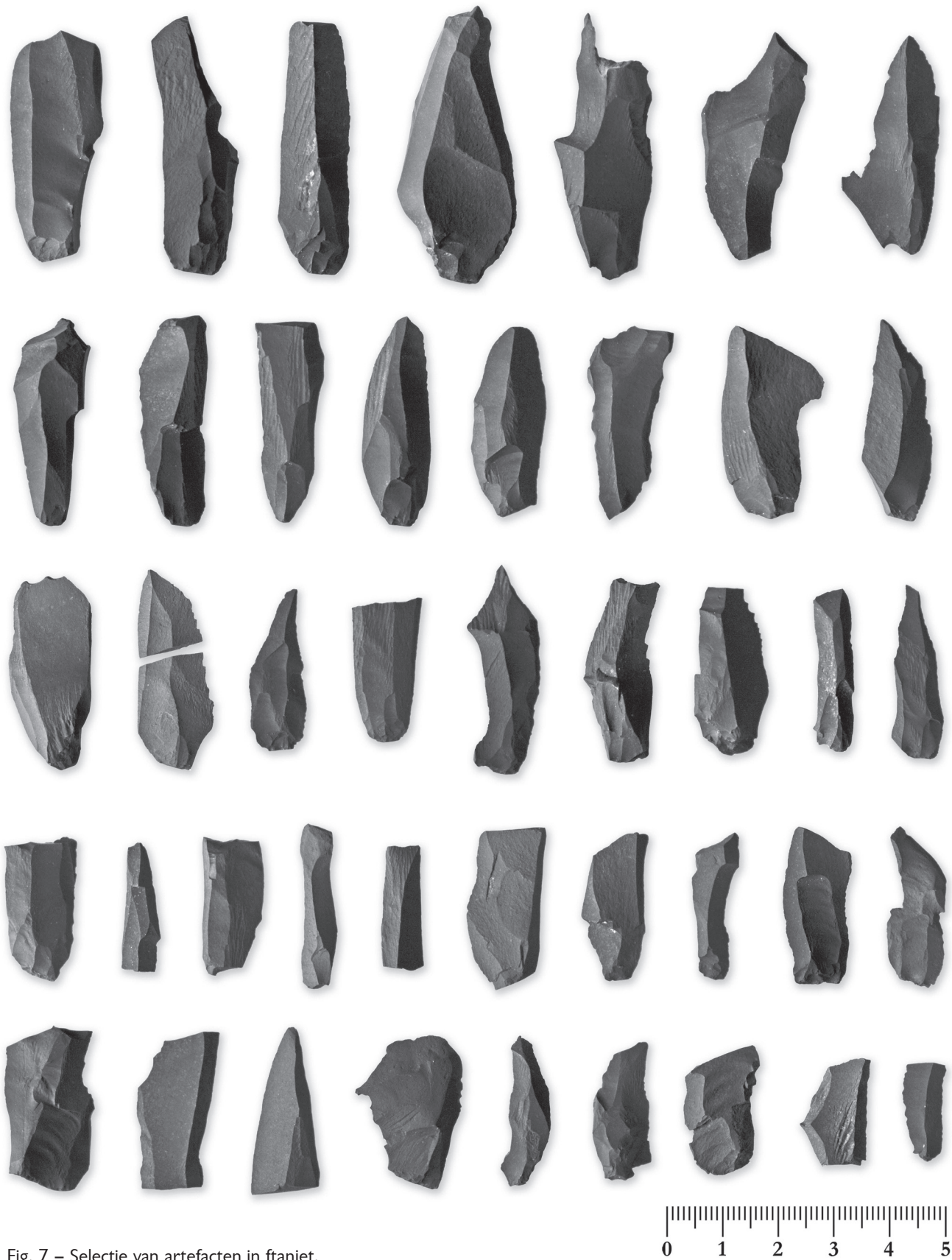


Fig. 7 – Selectie van artefacten in ftaniet.

### 5.2.2. Verticale vondspreiding

Beide concentraties werden opgegraven in verticale eenheden van 5 cm. Hieruit bleek dat de vondstdensiteit vlak onder het huidige oppervlak het hoogst is en volgens een unimodale curve geleidelijk afneemt met de diepte (Fig. 8). De verticale vondstverspreiding lijkt tevens sterk gerelateerd aan de podzolbodem. De meeste vondsten bevonden zich immers steeds in de E-horizont, terwijl onder de B-horizont nog maar weinig artefacten werden aangetroffen. Ondanks het feit dat de podzolbodem over het grootste deel van de oppervlakte licht werd afgetopt door plagwerken en/of winderosie, lijkt het vondstensemble redelijk volledig. Bij het plaggen zou een klein aantal artefacten eventueel verwijderd kunnen zijn, maar het verzamelen van oppervlaktevondsten heeft het verlies aan artefacten door winderosie vermoedelijk grotendeels opgevangen.

### 5.2.3. Horizontale vondstverspreiding

Voor concentraties 1 en 2 werd respectievelijk 31 m<sup>2</sup> en 20 m<sup>2</sup> opgegraven. De dichtheid aan artefacten in ftaniet werd hierbij prioritair gevolgd, waardoor in beide opgravingsputten nagenoeg de volledige concentratie van artefacten in deze grondstof gevat lijkt te zijn (Fig. 9). Ongetwijfeld bevonden zich nog enkele stukken buiten de opgegraven oppervlakte, maar op basis van de vondstverspreiding lijkt het ensemble in ftaniet toch de volledigheid te benaderen. Het betreft twee ongeveer cirkelvormige concentraties van verschillende grootte en dichtheid. Concentratie 1 heeft een diameter van ongeveer 5m en een maximum vondstdensiteit van 38 artefacten in ftaniet per 1/4 m<sup>2</sup>, terwijl concentratie twee slechts een diameter van ongeveer 3 m en een maximum vondstdensiteit van 17 artefacten in ftaniet per 1/4 m<sup>2</sup> bereikt.

De horizontale verspreiding van de silex artefacten vertoont echter een volledig ander beeld (Fig. 10). Deze is in concentratie 2 met een maximale vondstdensiteit van 71 artefacten

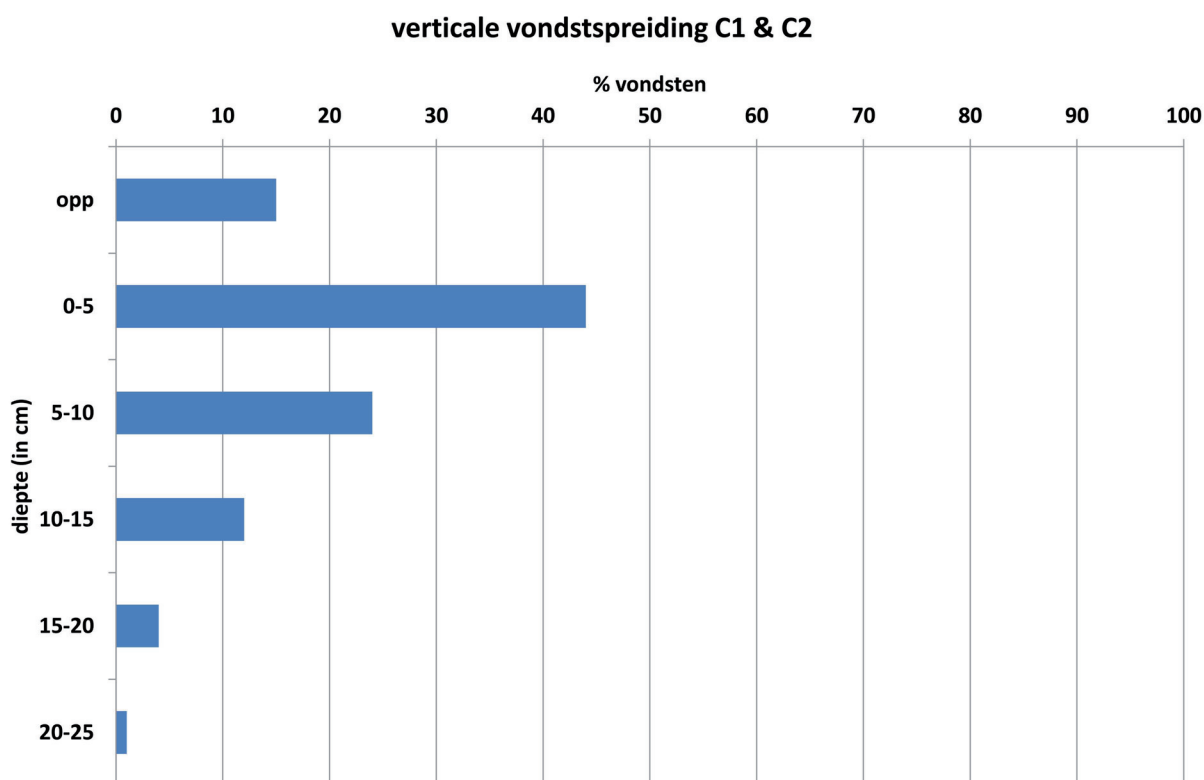


Fig. 8 – Verticale verspreiding van alle opgegraven artefacten.



werd ongetwijfeld op of in de buurt van deze locatie bewerkt, waarvan de volledige waaiervan debitageafval (kernverfrissing, afslagen, klingen, chips, ...), werktuigafval en werktuigen getuigt. Dit ensemble biedt dan ook een uitzonderlijke kans om nieuwe kennis over een slecht gekend aspect van mesolithische technologie te genereren, door middel van een doorgedreven ruimtelijke, technologische en functionele analyse.

Het ensemble in ftaniet lijkt bovendien zeer homogeen, wat het potentieel van een dergelijke studie verhoogt. De ruimtelijke spreiding toont namelijk twee discrete concentraties en het werktuigbestand is zeer gespecialiseerd. Verdere analyse, bijvoorbeeld door middel van refitting, moet de homogeniteit echter verder aantonen.

Daarnaast lijkt het ensemble in ftaniet zeer goed bewaard. Aan de top kunnen enkele artefacten door de plagwerken verwijderd zijn, maar de bodem bleek verder goed bewaard. De concentraties vertonen slechts een beperkte verticale en horizontale spreiding. De artefacten in ftaniet komen zeer vers voor, met scherpe boorden in dit nochtans relatief zachte materiaal. Verdere intra- en intersiteanalyse zal een mogelijk verband tussen beide concentraties moeten nagaan, alsook de relatie tot de andere aanwezige grondstoffen. Qua horizontale spreiding en samenstelling vertonen de componenten in vuursteen en Wommersomkwartsiet zowel gelijkenissen als verschillen met het ftaniet, maar enkel verdere studie kan deze vertalen naar hun (relatieve) chronologie.

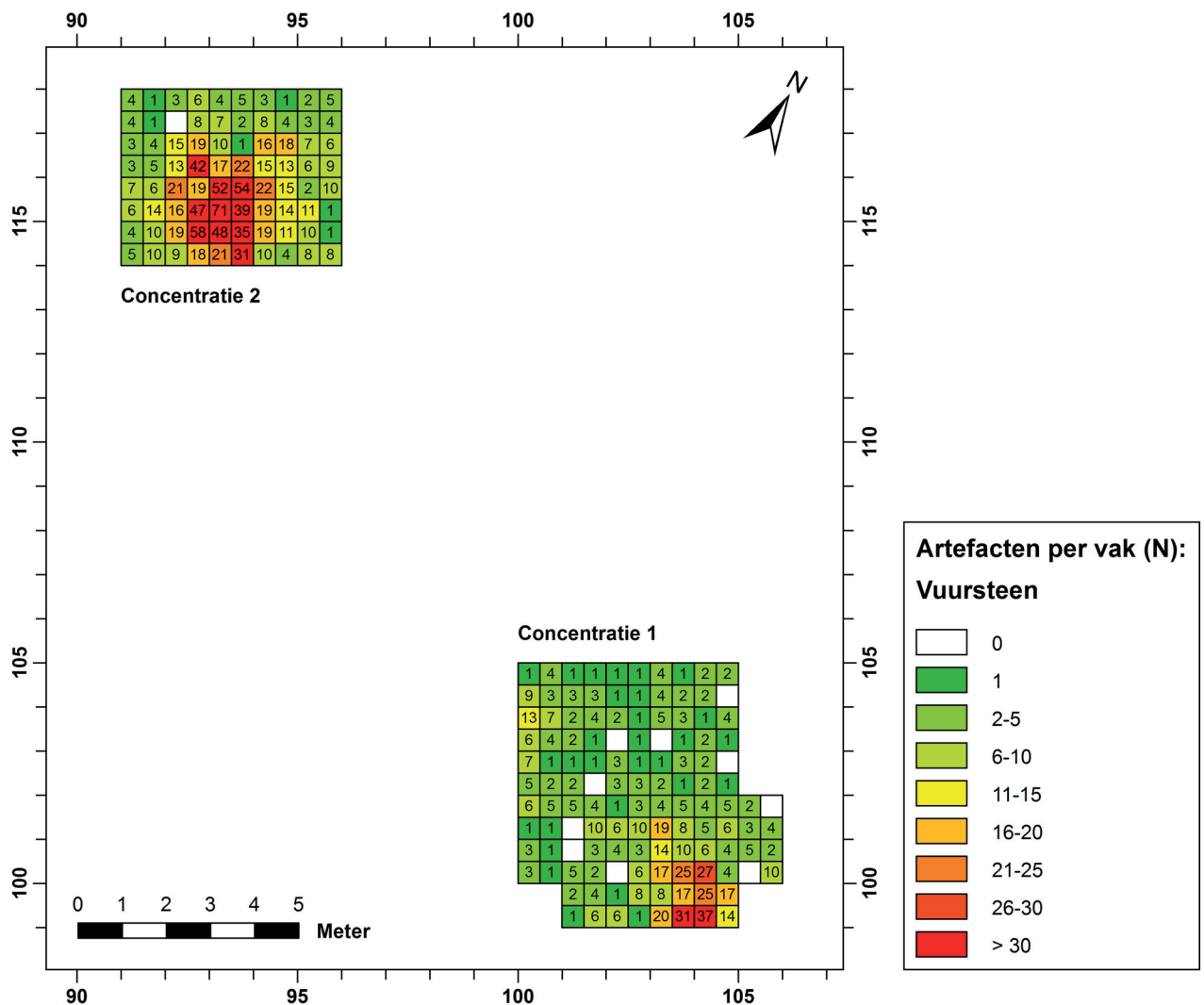


Fig. 10 – Horizontale spreiding van de opgegraven artefacten in vuursteen per 1/4 m<sup>2</sup>.



Bibliografie

ARTS N. & DEEBEN J., 1977. Een Laat-Mesolithische nederzetting bij het Steenvan te Nettersel (Gem. Bladel o.a.). In: N. ROYMANS, J. BIEMANS, J. SLOFSTRA & W. J. H. VERWERS (ed.), *Brabantse oudheden: opgedragen aan Gerrit Beex bij zijn 65ste verjaardag*, Eindhoven: 33-41.

CREEMERS G. & VERMEERSCH P. M., 1986. Het jong-Mesolithisch site van Meeuwen-In den Damp 1. *Notae Praehistoricae*, 6: 107-112.

CREEMERS G. & VERMEERSCH P. M., 1987. De laat-mesolithische vindplaats van Meeuwen-In den damp 1 (gem. Meeuwen-Gruitrode). *Archaeologia Belgica*, III: 71-72.

DE BIE M. & VAN GILS M., 2009. Mesolithic settlement and land use in the Campine region (Belgium). In: S. MCCARTAN, R. SCHULTING, G. WARREN & P. WOODMAN (ed.), *Mesolithic Horizons. Papers presented at the Seventh International Conference on the Mesolithic in Europe, Belfast 2005*, Oxford: 282-287.

HUYGE D., VERMEERSCH P. M., met bijdragen van DICKENS C., GILLOT É., GULLENTOPS F., JANSSENS F., MUNAUT A. V. & VAN NEER W., 1982. Late Mesolithic settlement at Weelde - Paardsdrank. In: P. M. VERMEERSCH (ed.), *Contributions to the study of the Mesolithic of the Belgian Lowland*, Studia Praehistorica Belgica, 1, Tervuren: 115-209, 7 p. in bijlage.

*Gereducerde Kadasterkaart van België, Dépôt de la Guerre et de la topographie*. Uitgegeven tussen 1845-1855, schaal 1:20.000.

VAN GILS M. & DE BIE M., 2002. *Prospectie en kartering van laat-glaciale en vroeg-holocene steentijdsites in de Kempen. Boorcampagne 2001*. IAP, Rapporten 12.

VAN GILS M. & DE BIE M., 2008. Les occupations tardiglaciaires et postglaciaires du nord de la Belgique : modalités d'occupation du territoire. In: J.-P. FAGNART, A. THEVENIN, T. DUCROCQ, B. SOUFI & P. COUDRET (ed.), *Le début du Mésolithique en Europe du Nord-Ouest. Actes de la table ronde d'Amiens. 9 et 10 octobre 2004*, Mémoires de la Société préhistorique française, 45: 205-218.

VERMEERSCH P. M., SCHELTENS E. & FOBLETS R., 2005. Laat-Mesolithicum te Brecht-Overbroek. De collectie R. Foblets. In: *Jubileumboek. Honderd jaar Koninklijke Geschied- en Oudheidkundige Kring voor Brecht en Omstreken*, Brecht: 65-82.

VON FERRARIS J. J. F. & BRACKE W., 2009. *De Grote Atlas van Ferraris [Kabinetskaart van de Oostenrijkse Nederlanden voor Zijn Koninklijke Hoogheid de Hertog Karel Alexander van Lotharingen]*. Uitgegeven in 1770-1778, schaal 1:11.520, facsimile van de kaart op schaal 1:20.000, Koninklijke Bibliotheek van België - Lannoo - Nationaal Geografisch Instituut - Racine, Brussel: 600 p.

### *Abstract*

On the border of the fen Monnikswijer in the community of Meeuwen-Gruitrode, two mesolithic scatters of lithic artefacts were excavated. Surface finds in both the immediate and wider surroundings indicate that these scatters are part of a very large and well preserved stone age site. Next to finds in flint, Wommersom quartzite, Tienen quartzite and quartzitic sandstone, the assemblage contains an unusual high number of artefacts in Phtanite, offering unique possibilities for the study of this ill-known aspect of Mesolithic technology.

*Keywords:* Flander (BE), Prov of Limburg, Meeuwen-Gruitrode, Monnikswijer, mesolithic, excavation, survey, Phtanite, Wommersom quartzite.

### *Samenvatting*

Langs het ven Monnikswijer te Meeuwen-Gruitrode werden twee concentraties mesolithische lithische artefacten opgegraven. Oppervlaktevondsten uit zowel de nabije als wijdere omgeving tonen aan dat deze concentraties deel uitmaken van een zeer uitgestrekte en goed bewaarde steentijdsite. Naast vondsten in vuursteen, wommersomkwartsiet, kwartsiet van Tienen en natuursteen, valt het hoge aantal artefacten in ftaniet op, waarmee dit ensemble unieke mogelijkheden biedt om nieuwe kennis over dit slecht gekend aspect van mesolithische technologie te genereren.

*Trefwoorden:* Vlaanderen (BE), Prov van Limburg, Meeuwen-Gruitrode, Monnikswijer, mesolithicum, opgraving, prospectie, ftaniet, Wommersomkwartsiet.

Marijn VAN GILS  
KU Leuven , Onroerend Erfgoed &  
Eenheid Prehistorische Archeologie  
Phoenixgebouw 8ste verdiep  
Koning Albert II-laan, 19 bus 5  
BE – 1210 Brussel  
[marijn.vangils@rwo.vlaanderen.be](mailto:marijn.vangils@rwo.vlaanderen.be)

Gunther NOENS  
[gunther.noens@gmail.com](mailto:gunther.noens@gmail.com)

Ann VAN BAELEN  
[annvanbaelen@gmail.com](mailto:annvanbaelen@gmail.com)